

# PVC 为基凝胶电解质薄膜

周 伟 管荻华<sup>①</sup> 杨国权<sup>②</sup> 姜 莉<sup>①</sup> 王 刚<sup>③</sup>

(中国科学院生态环境研究中心, 北京 100085; ① 北京科技大学化学系, 北京 100083;

② 中央民族大学物理系, 北京 100081; ③ 中国科学院物理研究所, 北京 100080)

**关键词** 凝胶电解质薄膜 离子电导率 浇注法 交流阻抗谱 聚氯乙烯

具有高离子电导率的固体电解质是全固态电池、电化学器件和传感器的关键材料。但是, 由锂盐和长链聚合物基体构成的一类常规  $\text{Li}^+$  传导聚合物电解质, 其室温离子电导率却非常低 ( $10^{-9} \sim 10^{-5}$  S/cm)。例如, 最常见的  $(\text{PEO})_8 \cdot \text{LiClO}_4$  在 298 K 时离子电导率只有  $10^{-7}$  S/cm。因此, 利用这类材料的全固态锂电池只有工作在 323 ~ 373 K 时, 才能提供高能量、大功率和长寿命。显然, 这是不利于实际应用的。从实用的角度看, 若使全固态锂电池在室温条件下有效地工作, 则要求固体电解质的室温离子电导率必须达到  $10^{-3}$  S/cm。

目前, 提高聚合物电解质室温离子电导率的方法有: 改进现有的 PEO-Li X 体系、研制复合聚合物电解质<sup>[1]</sup>、研制使用增塑剂的凝胶电解质。

含有增塑剂的聚合物电解质, 其室温离子电导率可高达  $10^{-3}$  S/cm, 这是新一代聚合物电解质——凝胶电解质。由于近几年来这方面已经取得明显的进展, 预期在不久的将来, 它很可能发展成一门新的分支学科——聚合物离子学<sup>[2]</sup>。

凝胶电解质的典型例子是以聚丙烯腈(PAN)为基的凝胶电解质<sup>[3,4]</sup>。本文报道一种新的凝胶电解质, 即以聚氯乙烯(PVC)为基的凝胶电解质<sup>[5]</sup>, 其基体 PVC 是一种易于得到且便宜的材料。PVC 为基凝胶电解质的制备方法简单, 室温离子电导率可高达  $10^{-3}$  S/cm。可以预期, PVC 为基的凝胶电解质会在商用电池(特别是  $\text{Li}^+$  电池)和电化学器件等方面得到广泛的应用。

## 1 实验

### 1.1 PVC 为基凝胶电解质薄膜的制备

所用的原料 PVC 没有做进一步的处理。碳酸乙烯酯(EC)和碳酸丙烯酯(PC)经蒸馏处理后使用。高氯酸锂( $\text{LiClO}_4$ )经去水处理后使用。四氢呋喃(THF)经蒸馏处理后使用。上述原料存于充氩手套箱(气氛中湿度  $< 10 \times 10^{-6}$ )中待用。

按 15% PVC:40% EC:40% PC:5%  $\text{LiClO}_4$  的重量比分别进行称量。首先将  $\text{LiClO}_4$  溶于 EC/PC 中; 将 PVC 溶于一定量的 THF 中。然后将两者混合、磁搅拌至清澈透明的溶液出现时为止。最后将此溶液浇注在聚四氟乙烯的模具中。待 THF 在室温下挥发后就可得到独立

式的凝胶电解质薄膜.

### 1.2 交流阻抗谱测量

使用 Solartron 1255 FRA (频率响应分析仪) 和 Solartron 1286 ECI (电化学接口), 通过计算机程序来控制.

使用不锈钢电极<sup>1)</sup>来进行  $\text{LiClO}_4\text{-EC/PC-PVC}$  薄膜的阻抗测量, 其测量的频率范围为  $(0.1 \sim 5) \times 10^4 \text{ Hz}$ .

### 1.3 X 射线衍射分析

使用 PHILIPS 产的 X-Ray Generator (X 射线发生器), 通过计算机程序来控制.

### 1.4 复合阴极薄膜的制备

首先按 46%  $\text{LiMn}_2\text{O}_4$  (或  $\text{LiNiO}_2$ ): 22% 电解质液: 23% PVC: 9% 乙炔黑的重量比例分别进行称量. 然后将 PVC 溶于一定量的 THF 中, 待 PVC 溶解后加入电解质液、乙炔黑和  $\text{LiMn}_2\text{O}_4$ , 磁搅拌均匀后浇注在聚四氟乙烯的模具中, 待 THF 在室温下挥发后就可得到独立式的复合阴极薄膜.

### 1.5 复合碳阳极薄膜的制备

首先按 53% C: 26% 电解质液: 21% PVC 的重量比例分别进行称量. 然后将 PVC 溶于一定量的 THF 中, 待 PVC 完全溶解后加入电解质液和碳粉, 磁搅拌均匀后浇注在聚四氟乙烯的模具中, 待 THF 在室温下挥发后就可得到独立式的复合碳阳极薄膜.

### 1.6 电池组装实验

使用不锈钢三电极的电池模具, 用  $\varnothing 13 \text{ mm}$  的锂金属片或  $\varnothing 9 \text{ mm}$  的复合碳阳极膜,  $\varnothing 16 \text{ mm}$  的 PVC 为基凝胶电解质膜和  $\varnothing 13 \text{ mm}$  的复合阴极膜进行了 Li 电池 ( $\text{Li/LiClO}_4\text{-EC/PC-PVC}$  膜/复合阴极膜) 和  $\text{Li}^+$  电池 (复合碳阳极膜/ $\text{LiClO}_4\text{-EC/PC-PVC}$  膜/复合阴极膜) 的充放电循环特性的实验.

## 2 结果与讨论

利用浇注法制备的独立式的 PVC 为基的凝胶电解质薄膜具有很好的机械强度, 且不易受潮. 薄膜的厚度可根据需要来控制, 一般在  $200 \mu\text{m}$  左右. 与 PAN 为基的凝胶电解质薄膜和辐照(紫外线交联)法制备的电解质薄膜相比, 此种薄膜的制备方法简单, 易于重复. 尽管 PVC 为基凝胶电解质的离子电导率稍低于 PAN 为基凝胶电解质的离子电导率(前者为  $2 \times 10^{-3} \text{ S/cm}$ , 而后者为  $4 \times 10^{-3} \text{ S/cm}$ ), 但这并不影响其实际应用.

利用浇注法制备的复合阴极薄膜和复合碳阳极薄膜也具有很好的机械强度和不易受潮. 薄膜的厚度可以控制, 一般在  $300 \mu\text{m}$  左右. 制备方法简单, 易于重复. 与压片相比, 这两种电极薄膜具有独特的优点, 例如可根据需要来选取任意的形状, 因而在实际应用中具有很大的灵活性.

液体增塑剂 EC 和 PC 都是高介电常数(前者为 95.3, 后者为 64.4)、高沸点、低蒸气压和低粘度的有机分子. 它们的加入使得 PVC 的玻璃化温度  $T_g (= 351 \text{ K})$  明显地下降. 溶于混合增塑剂 EC/PC 中的  $\text{LiClO}_4$  溶液固定在有机聚合物 PVC 的网络中. 这样一来, 混合增塑剂 EC/PC 降低了离子环境的粘度, 使聚合物链对离子运动的影响大大减少, 导致了离子迁移率

1) 王刚、杨国权、管荻华等. 阻抗谱法确定扩散系数. 物理学报(待发表)

的大大增高,结果导致了离子电导率的增高<sup>[6]</sup>.

图1给出了PVC为基凝胶电解质的阻抗( $Z = Z' + jZ''$ )谱. 利用公式  $\sigma = \frac{1}{R} \cdot \frac{d}{S}$  (其中  $\sigma$  为电导率,  $R$  为电阻,  $d$  为薄膜的厚度,  $S$  为薄膜的面积), 容易算得  $\sigma = 2.0 \times 10^{-3} \text{ S/cm}$ . 我们也做了  $\sigma$  随存放时间而变化的实验, 结果(图2)表明,  $\sigma$  基本保持不变. 这说明 PVC 为基凝胶电解质在密封的情况下稳定性很好.

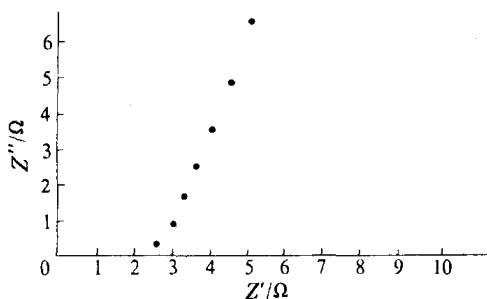


图1 PVC 为基凝胶电解质的阻抗图

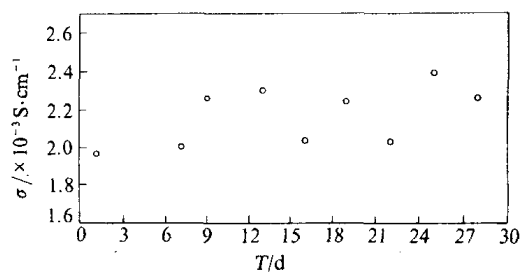


图2 PVC 为基凝胶电解质的电导率随存放时间的变化

PVC 为基凝胶电解质的高电导率, 也可以从 X 射线衍射的结果加以说明. X 射线衍射图表明, 此种电解质是非晶态. 由于非晶态不存在长程有序, 所以离子在这类样品中的扩散路径就短, 离子就传导得快, 扩散系数就大. 这同上述的解释是一致的.

使用 PVC 为基凝胶电解质组装了 Li 电池和  $\text{Li}^+$  电池, 后者是以  $\text{Li}^+$  源碳作为锂插层阳极取代了锂金属阳极. 初步实验结果如下: 对于 Li 电池, 平均能量密度可达  $0.05 \text{ Ah/g}$  (电流密度为  $0.08 \text{ mA/cm}^2$ , 电压范围为  $3.2 \sim 4.3 \text{ V}$ ); 对于  $\text{Li}^+$  电池, 平均能量密度可达  $0.004 \text{ Ah/g}$  (电流密度为  $0.08 \text{ mA/cm}^2$ , 电压范围为  $3.2 \sim 4.3 \text{ V}$ ). 这表明, PVC 为基凝胶电解质的离子电导率确实很高. 其细节将另文报道.

### 3 结论

使用聚合物 PVC, 混合增塑剂 EC/PC 和锂盐  $\text{LiClO}_4$  等原料, 通过浇注法制备出室温离子电导率高达  $10^{-3} \text{ S/cm}$  的凝胶电解质. 这是迄今为止, 继 PAN 为基凝胶电解质之后的又一种室温  $\text{Li}^+$  电导率高于  $10^{-3} \text{ S/cm}$  的凝胶电解质. 交流阻抗谱测量, Li 电池和  $\text{Li}^+$  电池的充放电循环确认了其高的离子电导率. X 射线衍射结果与理论解释相符.

**致谢** 感谢意大利国家研究中心 G. Pistoia 教授和罗马大学 M. Pasquali 教授所提供的条件、帮助和有益的讨论

### 参 考 文 献

- Wang G, Pistoia G. Rechargeable all solid-state lithium and sodium cells with composite cathodic films based on  $\text{Na}_{1+x}\text{V}_3\text{O}_8$ . *J Electroanal Chem*, 1991, 302:275~278

- 2 Croce F, Panero S, Passerini S et al. The role of conductive polymers in advanced electrochemical technology. *Electrochimica Acta*, 1994, 39(2): 255~263
- 3 Abraham K M, Alamgir M. Li<sup>+</sup>-conductive solid polymer electrolytes with liquid-like conductivity. *J Electrochem Soc*, 1990, 137(5): 1657~1658
- 4 王 刚, 管狄华, 姜 莉等. 一种凝胶电解质薄膜及其制备方法. 中国专利, 94 108 785. 94-07-22
- 5 Alamgir M, Abraham K M. Li ion conductive electrolytes based on poly (vinyl chloride). *J Electrochem Soc*, 1993, 140(6): L96~97
- 6 Abraham K M, Alamgir M. Room temperature polymer electrolytes and batteries based on them. *Solid State Ionics*, 1994, 70/71: 20~26